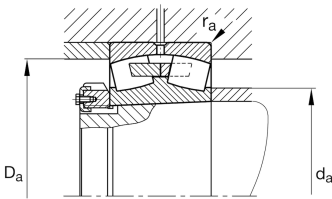
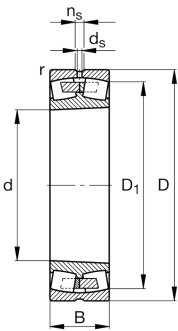


**FAG****249/850-B-K30-MB** [↗](#)

Rodamiento oscilante de rodillos

Rodamiento oscilante de rodillos 249...-B-K30-MB, simétrico, tres bordes

## Información técnica



## Variante de su producto actual

Ejecución	B	Con borde central fijo
Tipo de agujero	K30	Cónico, conicidad 1:30
Jaula	MB	Jaula maciza de latón
Juego radial del rodamiento	CN (Group N)	Normal internal clearance
Función de relubricación	Norma	Estándar

## Medidas principales y datos de rendimiento

d	850 mm	Diámetro del agujero
D	1.120 mm	Diámetro exterior
B	272 mm	Anchura
$C_r$	8.400.000 N	Capacidad de carga dinámica, radial
$C_{0r}$	22.500.000 N	Capacidad de carga estática, radial
$C_{ur}$	1.400.000 N	Límite de carga por fatiga, radial
$n_G$	445 1/min	Velocidad límite de rotación
$n_{gr}$	123 1/min	Velocidad de referencia
$m$	712,9 kg	Peso

## Medidas de montaje

$d_{a \min}$	873 mm	Diámetro mínimo resalte del eje
$D_{a \max}$	1.097 mm	Diámetro máximo del resalte del alojamiento
$r_{a \max}$	5 mm	Radio máximo de la ranura



### Medidas

$r_{\min}$	6 mm	Medidas mínimas del chaflán
$D_1$	1.033,9 mm	Diámetro del agujero del anillo exterior
$d_s$	12,5 mm	Diámetro del agujero de engrase
$n_s$	23,5 mm	Anchura de la ranura de lubricación

### Rango de temperatura

$T_{\min}$	-30 °C	Temperatura mín. de funcionamiento
$T_{\max}$	200 °C	Temperatura máx. de funcionamiento

### Factores de cálculo

$e$	0,23	Valor límite de $F_a/F_r$ para la aplicabilidad de dif. Valores de los factores X e Y
$Y_1$	2,98	Factor de carga axial dinámica
$Y_2$	4,44	Factor de carga axial dinámica
$Y_0$	2,92	Factor de carga axial estática

### Características

	Carga radial
	Carga axial en un sentido
	Carga axial en ambos sentidos
	Lubricación con grasa
	Lubricación con aceite
	No obturado
	Gran rodamiento
	Errores de alineación estáticos
	Errores de alineación dinámicos